

## تحقیقی

## توزیع قندهای انتهایی گلیکوکانژوگیت طی تکامل نوروهیپوفیز موش صحرایی

دکتر علیرضا ابراهیم زاده بیدسکان<sup>\*</sup>، دکتر محمد رضا نیکروش<sup>۱</sup>، دکتر علیرضا فاضل<sup>۲</sup>

۱- استادیار گروه علوم تشریحی و بیولوژی سلولی، دانشکده پزشکی، دانشگاه علوم پزشکی مشهد.

۲- استاد گروه علوم تشریحی و بیولوژی سلولی، دانشکده پزشکی، دانشگاه علوم پزشکی مشهد.

## چکیده

**زمینه و هدف:** نوروهیپوفیز از کف دیانسفالون مشتق می‌گردد و تکامل آن حاصل میان‌کنش‌های متعددی سلولی است که به‌واسطه مولکول‌های شیمیایی از جمله قندهای انتهایی گلیکوکانژوگیت میانجیگری می‌گردد. این مطالعه به منظور تعیین تغییرات برخی از قندهای انتهایی گلیکوکانژوگیت‌ها طی تکامل نوروهیپوفیز در موش صحرایی با روش لکتین هیستوشیمیایی انجام گردید.

**روش پژوهشی:** در این مطالعه تجربی از ۴ سر موش صحرایی ماده دوماهه و ۲۰ سر موش صحرایی نر نژاد ویستار با وزن تقریبی ۲۵۰-۲۸۰ گرم استفاده شد. پس از آمیزش و تعیین روز صفر حاملگی، موش‌های باردار در فاصله روزهای ۱۰ تا ۲۰ حاملگی قطع تخاع گردیدند و جنین‌های آنان به منظور مطالعات بافت‌شناسی جمع‌آوری گردید. سپس با جداسازی و فیکس سرهای نمونه‌های یاد شده و تهیه برش‌های سریال از مناطق دارای بافت هیپوفیز به رنگ آمیزی لکتین هیستوشیمیایی مبادرت گردید. لکتین‌های LTA، OFA، UEA-I، WFA با PNA، SBA GSAI-B4، VVA و HRP نشان‌دار شدند. به طوری که UEA-I، LTA، OFA و WFA برای قندهای انتهایی D-GalNAc و D-Gal-(1-3)، D-GalNAc، α-D-GalNAc، α-D-Gal و WFA به ترتیب برای SBA، GSAI-B4 و α-L-Fucose اختصاصی هستند.

**یافته‌ها:** نتایج نشان داد که اکثر سلول‌های نوروهیپوفیز با لکتین OFA از روز دهم حاملگی واکنش نشان دادند و در روز پانزدهم افزایش آماری معنی‌داری در شدت واکنش سلول‌ها ملاحظه گردید ( $P<0.05$ ). در روز هفدهم به طور معنی‌داری شدت واکنش کاهش یافت ( $P<0.05$ ). لکتین PNA از روز سیزدهم جنبه‌ی با تعدادی از سلول‌های نوروهیپوفیز واکنش نشان داده و تا روز شانزدهم بر شدت این واکنش‌ها افزوده شد و پس از آن شدت واکنش کاسته شد ( $P<0.05$ ). واکنش لکتین SBA از روز چهاردهم شروع و تا روز هیجدهم با همان شدت ادامه یافت و سپس کاهش یافت ( $P<0.05$ ). واکنش به لکتین WFA از روز سیزدهم شروع شد و در روزهای چهاردهم و پانزدهم به صورت معنی‌داری شدت یافت ( $P<0.05$ ) و پس از آن به تدریج از شدت واکنش کاسته شد. در مورد لکتین‌های UEA-I، VVA، LTA و GSAI-B4 هیچ‌گونه واکنشی مشاهده نگردید.

**نتیجه‌گیری:** این مطالعه نشان داد که احتمالاً بیان قندهای انتهایی  $\alpha$ -L-Fucose،  $\beta$ -D-GalNAc،  $\alpha$ -D-Gal-(1-3) - D-Gal و  $\beta$ -D-GalNAc با استفاده از یک نقش کلیدی و نوعی الگوی زمانی و مکانی مشخص در فرایندهای تکاملی از جمله تکامل نوروهیپوفیز تنظیم شده است.

**کلید واژه‌ها:** نوروهیپوفیز، لکتین، گلیکوکانژوگیت، تکامل، موش صحرایی

\* نویسنده مسؤول: دکتر علیرضا ابراهیم زاده بیدسکان، پست الکترونیکی [brahimzadehba@mums.ac.ir](mailto:brahimzadehba@mums.ac.ir)

نشانی: مشهد، میدان آزادی، پردیس دانشگاه، دانشکده پزشکی، گروه علوم تشریحی و بیولوژی سلولی، تلفن ۰۵۱۱-۸۰۰۲۳۲۵-۸۰۰۲۳۳۳، نامبر ۸۰۰۲۳۳۳

وصول مقاله: ۸۹/۶/۲۱، اصلاح نهایی: ۸۹/۱۱/۲۷، پذیرش مقاله: ۸۹/۱۲/۳

(Cell adhesion Molecule: CAM) اتصالی در سطح سلول (CAM) به عنوان شاخصی در پدیده القاء و تمایزات سلولی نقش دارند (۱۴). علاوه بر القاء، اثرات متقابل محیط بلاواسطه اطراف سلول و عوامل ژنتیکی از دیگر عواملی هستند که در ایجاد تمایزات سلولی دخالت دارند (۱۵).

از طرف دیگر دانش ما در مورد اهمیت عملی تغییر بخش کربوهیدراتی گلیکوکانتروگیت‌ها در دهه اخیر افزایش چشمگیری یافته است. این موضوع به همراه توسعه روش‌های مطالعه ساختمان زنجیره‌های الیگوساکاریدی و پلی‌ساکاریدی، بیولوژی کربوهیدرات‌ها را در بخش اصلی مطالعات میان‌کنش‌ها و رفتارهای سلولی قرار داده است (۱۶). به طوری که امروزه ثابت شده گلیکوکانتروگیت‌های سطح سلول و ماتریکس خارج سلولی دارای نقش ویژه‌ای در تمایز، مهاجرت، میان‌کنش‌های سلولی و سایر پدیده‌های تکاملی در طی مورفوژنز جنینی دارند (۱۰ و ۱۵). این ترکیبات شامل گلیکوپروتئین‌ها، گلیکولیپیدها و پروتئوگلیکان‌ها می‌باشند که ماهیت بخش الیگوساکاریدی آنها علاوه بر نوع گونه، به نوع بافت، مرحله تکاملی، توالی اسیدهای آمینه و ساختمان سه‌بعدی پروتئین‌ها وابسته است (۱۰). به طوری که نقش در گلیکوزیلاسیون این ترکیبات عاقب پاتولوژیک جدی به‌دبیار دارد. غیرفعال نمودن ژن‌هایی که در ستر N-Link الیگوساکاریدهای تکاملی، در این مطالعه ظهور و تغییرات ترانس‌ژنیک نشان می‌دهد که این ژن‌ها در مراحل اولیه تکامل جنینی ایفای نقش می‌نمایند. چنان‌که غیرفعال نمودن ژن GalNAc ترانسферاز در موش موجب صدمه به جنین‌ها پس از روز نهم می‌گردد و جنین‌های فاقد این ژن تا روز دهم از بین می‌روند (۱۰). لذا با توجه به مطالب فوق و نقش ترکیبات قندی در فرایندهای تکاملی، در این مطالعه ظهور و تغییرات احتمالی این ترکیبات در طی تکامل نوروهیپوفیز در موش صحرایی با استفاده از روش لکتین هیستوشیمیایی مورد بررسی قرار گرفت.

### روش بررسی

در این مطالعه تجربی از ۴۰ سر موش صحرایی ماده دوماهه و ۲۰ سر موش صحرایی نر نژاد ویستار با وزن تقریبی ۲۵۰-۲۸۰ گرم خریداری شده از دانشکده پزشکی مشهد؛

### مقدمه

غده هیپوفیز دو منشاء جنینی متفاوت دارد. به طوری که آدنوهیپوفیز از اکتودرم سقف دهان اولیه بلاواسطه در جلو پرده دهانی - حلقی با تشکیل بن بست راتکه به وجود می‌آید. در صورتی که نوروهیپوفیز از کف دیانسفالون با تشکیل اینفاذیولوم ایجاد می‌گردد (۱-۴). نوروهیپوفیز که مشتمل بر ساقه و پارس نوروزا می‌باشد و عمدتاً حاوی رشته عصبی است که از هیپوتalamوس منشاء گرفته و سلول‌های نوروگلی به‌نام پیتوئیسیت می‌باشد (۵). تکامل این غده با فعال شدن سلول‌های اکتودرمی سقف دهان اولیه شروع شده که با انجام میان‌کنش متقابل با کف دیانسفالون با نظم خاصی مسیر تکامل خود را طی می‌نمایند. به طوری که در مosh صحرایی در روز نهم تکامل ژن‌های Shh و Ptix1/2 در اکتودرم دهان اولیه بیان می‌گردد و از روز نهم تا دوازدهم فاکتور BMP4 در کف دیانسفالون موجب القاء پلاک بن‌بست (Pouch placode) در جهت تشکیل بن‌بست راتکه می‌شود (۶-۸). سپس از روز دهم تا چهاردهم نیز فاکتور FGF8 در اینفاذیولوم تولید می‌شود و موجب القاء بن‌بست راتکه و تکثیر سلولی در آن می‌گردد (۹). در این راستا فاکتورهای Lhx2، Lhx3 و Lhx4 در حدود روز دهم در سلول‌های بن‌بست راتکه بیان می‌گردد و موجب شکل‌گیری این بن‌بست و تکثیر سلول‌های پیش‌ساز غده هیپوفیز می‌شود (۹ و ۱۰). در این رابطه ثابت شده است که ترکیبات قندی (Glycoconjugates) که در سطح سلول‌ها و همچنین در ماتریکس خارج سلولی وجود دارند؛ در تمایزات سلولی، مهاجرت سلولی و تعیین مسیر تکاملی نقش اساسی دارند (۱۰ و ۱۱). از این لحاظ نقش قندهای انتهایی (Terminal sugars) مربوط به زنجیره‌های قندی گلیکوکانتروگیت‌ها بسیار حائز اهمیت است (۱۲).

با توجه به این که تمایز سلول‌ها تحت تاثیر پدیده‌ای به‌نام القاء صورت می‌گیرد؛ به نظر می‌رسد بروز این پدیده تحت تاثیر عوامل القاکنده (Inductive factors) انجام می‌گیرد (۱۳). علی‌رغم مشخص نبودن ماهیت دقیق عوامل القایی، عقیده بر این است که عوامل تغیردهنده رشد  $\beta 2$  (Transforming growth Factor  $\beta 2$ : TGF-  $\beta 2$ ) و اکتیوین (Activin) همچنین ظهور و یا ناپدید شدن مولکول‌های

جدول ۱ : مشخصات لکتین های مورد استفاده

Lectin	Abbreviation	Carbohydrate – binding specificity
<i>Aleuria aurantia</i> (Orange fungus)	OFA	<i>L-fuc</i> ( $\alpha$ 1-6) <i>GlcNAc</i>
<i>Lotus tetragonolobus</i> agglutinin	LTA	<i>L-fuc</i> ( $\alpha$ 2-4) <i>GlcNAc</i>
<i>Ulex europeus</i> agglutinin	UEA-I	<i>L-fuc</i> ( $\alpha$ 1-3) <i>Gal</i> ( $\beta$ 1-4) <i>Glc</i>
<i>Arachis Hypogaea</i> (peanut)agglutinin	PNA	<i>D-Gal</i> -( $\beta$ 1-3)- <i>D-GalNAc</i>
<i>Glycine max</i> (soybean)agglutinin	SBA	$\beta$ , $\alpha$ - <i>D-GalNAc</i>
<i>Vicia villosa</i> agglutinin	VVA	<i>GalNAc</i>
<i>Griffonia simplicifolia</i> agglutinin	GSA1-B4	$\alpha$ - <i>D-Gal</i>
<i>Wistaria floribunda</i>	WFA	<i>D -GalNAc</i>

یک) که از شرکت سیگما تهیه شده بود؛ به شرح ذیل آماده گردیدند.

ابتدا مقاطع بافتی به روش معمول بافت‌شناسی آبده‌ی شدن. سپس نمونه‌های بافتی به مدت نیم ساعت در محلول بافر فسفات سالین (PBS) تازه تهیه شده قرار داده شد. این محلول دارای ۳۶ گرم کلرید سدیم، ۷/۴ گرم سدیم هیدروژن فسفات و ۴/۱۵ گرم پتاسیم دی‌هیدروژن در یک لیتر آب مقطر است. این محلول Stock بوده و در هنگام کار محلول فوق را به نسبت یک به پنج رقیق نمودیم (۱۷).

برای رنگ‌آمیزی ابتدا هریک از لکتین‌های مورد نظر با غلاظت ۱۰ میکروگرم ماده مؤثر (Lectin- Horse Radish Phosphate PBS Peroxidase conjugate) در یک میلی‌لیتر PBS (Peroxidase conjugate) در یک میلی‌لیتر Buffered Saline) - رقیق شدن. پس از خارج کردن نمونه‌ها از محلول PBS برش‌های مربوط به هر مرحله تکاملی برای استفاده از سه لکتین یاد شده به سه دسته تقسیم گردید. آنگاه بر روی هر سری از برش‌ها چند قطره از لکتین رقیق شده موردنظر چکانده شد و به مدت دو ساعت در درجه حرارت اتاق قرار گرفتند. بعد از این مدت مقاطع در PBS به مدت ۳ دقیقه شستشو داده شدن. سپس نمونه‌ها به مدت ۱۰ دقیقه در محلول ۰/۰۳ درصد DAB (Diaminobenzidine) ۰/۰۳ گرم در ۱۰۰ میلی‌لیتر PBS) و آب اکسیژن (۲۰۰ میکرولیتر در ۱۰۰ میلی‌لیتر محلول DAB) مجاور گردید. پس از آن با آب جاری شستشو داده شدن (۱۷ و ۱۸). برای رنگ زمینه از آلسین‌بلو با pH ۲/۵ استفاده گردید. در مرحله بعد مقاطع موردنظر طبق روش‌های معمول در بافت‌شناسی آبگیری، با گزیلول شفاف‌سازی و سپس مونته گردیدند. در هر مرحله حداقل سه نمونه به عنوان گروه آزمایش با هر لکتین

استفاده گردید.

حیوانات در شرایط استاندارد خانه حیوانات با دسترسی آزادانه به غذا، آب، دوره تاریکی و روشنایی ۱۲ ساعته، رطوبت و دمای ۱۸-۲۴ درجه سانتی گراد مطابق دستورالعمل (The National Institutes of Health) NIH شدند. موش‌ها پس از سازگاری با محیط در قفس‌های مخصوص جفت‌گیری (دو موش ماده و یک موش نر) آمیزش داده شدند. پس از معاینه اسمیر واژنال و مشخص شدن روز صفر حاملگی، موش‌های حامله به قفس‌های جداگانه منتقل و مورد نگهداری و مراقبت قرار گرفتند. سپس در هر یک از روزهای دهم تا بیست حاملگی به ترتیب موش‌های حامله با استفاده از کلروفرم بیهوش و با عمل سزارین و شکافتن شاخه‌های رحم، جنین‌ها از پرده‌های جنینی جدا گردیدند و در محلول نرم‌الین در دمای اتاق فیکس شدند (۱۷). نمونه‌ها به روش‌های معمول بافت‌شناسی پاساژ داده شدند. سپس نمونه‌ها از ناحیه سر در بلوک‌های پارافینی قالب‌گیری شدند و به منظور دستیابی به مقاطع جنینی که حاوی بافت نوروهیپوفیز باشد؛ برش‌هایی به صورت سریال با ضخامت ۵ میکرون توسط میکروتوم روتاری در جهت سازیت از هر نمونه تهیه گردید. در مراحل ابتدایی تکامل هیپوفیز (روزهای دهم تا چهاردهم جنینی) در هر روز تعداد ۸ جنین و در مراحل تکاملی بالاتر در هر روز تعداد ۴ جنین مورد استفاده قرار گرفت. سپس از هر مرحله تکاملی (روز دهم تا بیست) تعداد ۲۴ مقاطع آماده گردید و به ۸ دسته سه‌تایی برای هریک از لکتین‌ها تقسیم شدند.

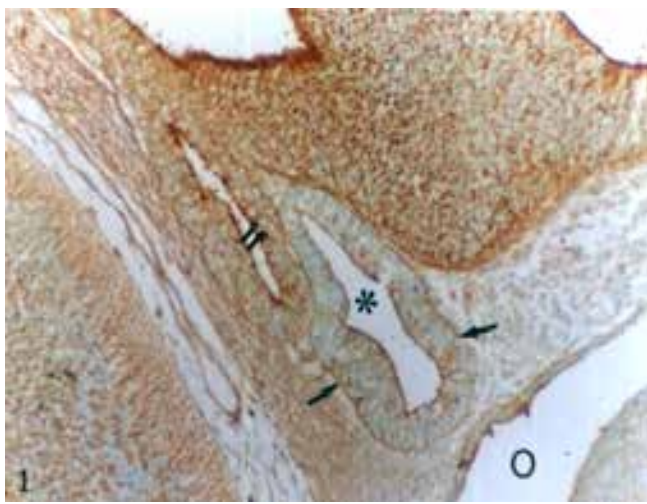
در ادامه کار مقاطع تهیه شده برای رنگ‌آمیزی به روش لکتین هیستوشیمی با استفاده از لکتین‌های موردنظر (جدول

جدول ۲ : میانگین و انحراف معیار شدت واکنش روزهای جنینی متفاوت مورد مطالعه

E10-12	E13	E14	E15	E16	E17	E18	E19	E20	لکتین
۶/۱±۰/۵۴۷۱	۱/۶±۰/۵۴۷۷	۱/۸±۰/۸۳۶۷	۳/۰	۲±۰/۸۳۶۷	۱/۹±۰/۴۴۷۲	۱/۸±۰/۴۴۷۲	۱/۸±۰/۴۴۷۲	۱/۸±۰/۴۴۷۲	OFA
۰±۰/۰	۰/۸±۰/۴۴۲۲	۱±۰	۰/۸±۰/۴۴۷۲	۰/۰	۰/۰	۰/۰	۰/۰	۰/۰	PNA
۰±۰	۰±۰	۱±۰	۱/۲±۰/۸۳۶۷	۱/۲±۰/۴۴۷۱	۱±۰	۰/۸±۰	۰±۰/۰	۰±۰/۰	SBA
۰/۰±۰	۰±۰	۱±۰	۲/۲±۰/۸۳۶۷	۰/۸±۰/۴۴۷۱	۰±۰	۰±۰	۰±۰/۰	۰±۰/۰	WFA
۰/۰±۰	۰±۰	۱/۲±۰	۲/۲±۰/۸۳۶۷	۲±۰/۴۴۷۱	۱/۲±۰	۰±۰	۰±۰/۰	۰±۰/۰	ECM
									MPA

ECM : ماتریکس خارج سلولی  $P<0/05$

هیپوفیز در حال تکامل) به لکتین OFA واکنش نشان دادند (شکل یک). در روزهای سیزدهم و چهاردهم شدت واکنش در آن دسته از سلول‌هایی که به لکتین فوق واکنش نشان داده بودند؛ تغییر آماری معنی‌داری را نشان نداد. در ادامه روند تکامل، در روز پانزدهم افزایش معنی‌داری در شدت رنگ‌پذیری سلول‌ها ملاحظه گردید ( $P<0/05$ ) (شکل ۲). پس از آن، به طور معنی‌داری شدت واکنش در لوب خلفی هیپوفیز کاهش یافت ( $P<0/05$ ).



شکل ۱ : مقطع سازیتال هیپوفیز در حال تکامل مربوط به جنین ده روزه موش صحرایی که در مجاورت با لکتین OFA قرار گرفته است (بزرگنمایی  $\times 200$ ).

\* فضای داخل بن‌بست راتکه،  $\alpha$  : اینفاندیبولوم یا لوب خلفی هیپوفیز در حال تکامل که سلول‌های آن با لکتین OFA واکنش نشان داده‌اند.

#### واکنش به PNA

در بررسی مقاطع میکروسکوپی شروع واکنش با لکتین PNA در تعدادی از سلول‌های نوروهیپوفیز از روز سیزدهم قابل مشاهده بود. در ادامه روند تمایز سلولی تقریباً در همان سلول‌هایی که از روز سیزدهم واکنش شروع شده بود؛ در روز چهاردهم نیز با همان شدت ملاحظه گردید (شکل ۲). مقایسه

رنگ‌آمیزی شدن و یک برش به عنوان شاهد در معرض DAB، HRP و آب اکسیژنه (بدون استفاده از لکتین) قرار گرفت. به علاوه با هر لکتین در هر مرحله جنینی یک نمونه ترکیبی (Composite) (به عنوان کنترل مثبت رنگ‌آمیزی گردید. با توجه به این که در صورت اتصال لکتین با قنادتها بیاید در مجاورت DAB و آب اکسیژنه به علت وجود HRP رنگ قهوه‌ای ظاهر می‌شود؛ لام‌های آماده شده با میکروسکوپ نوری معمولی مورد بررسی قرار گرفتند و شدت رنگ‌آمیزی براساس طیف لیکرت مورد ارزیابی قرار گرفت. به این ترتیب که به عدم واکنش یا واکنش منفی رتبه صفر، واکنش خفیف یا ضعیف رتبه (+)، واکنش متوسط رتبه (++) و به واکنش قوی رتبه (+++) تعلق گرفت (۱۹).

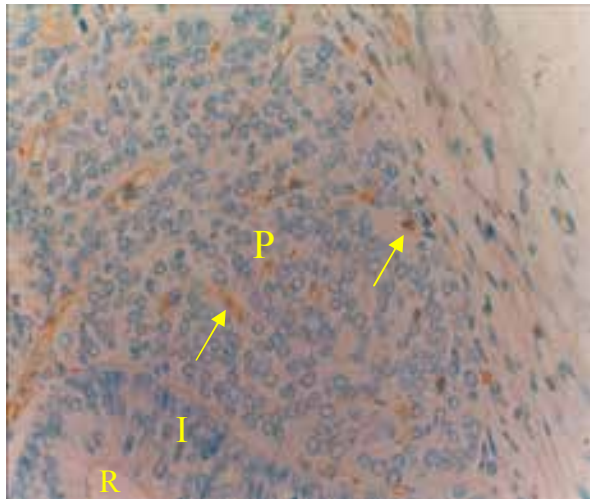
در این روش شدت رنگ‌آمیزی براساس مشاهده سه نفر به صورت Blind تعیین گردید و نمونه‌ها براساس شدت واکنش با هر لکتین در روزهای مختلف جنینی یاد شده (جدول ۲) به طور جداگانه رتبه‌بندی شدند. برای مقایسه آنها از آزمون آماری غیرپارامتری کروسکال-والیس استفاده شد و اختلاف در سطح کمتر از  $0/05$  معنی‌دار محسوب گردید. در انتهای از شدت و تغییرات واکنش‌های ایجاد شده در نمونه‌ها توسط میکروسکوپ Olympus مدل Bx51 عکس تهیه گردید.

#### یافته‌ها

مراحل مختلف مورفوژنز نوروهیپوفیز موش‌های صحرایی با لکتین‌های مختلف براساس یافته‌های زیر مورد ثبت و بررسی قرار گرفت.

#### واکنش به OFA

بررسی مقاطع رنگ‌آمیزی شده نشان داد که از روز دهم جنینی اکثر سلول‌های تشکیل دهنده اینفاندیبولوم (لوب خلفی



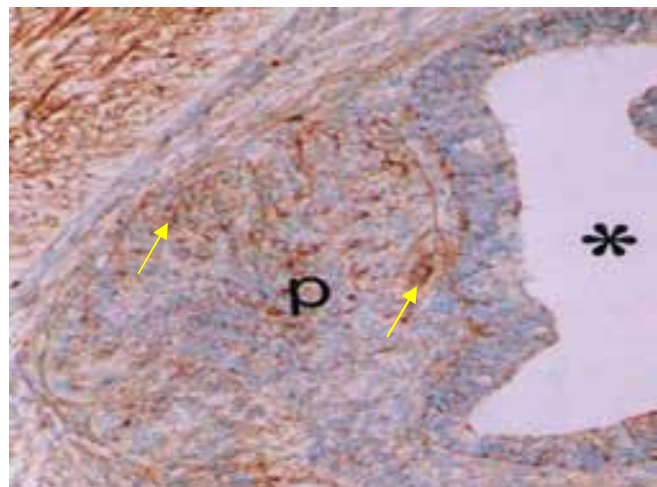
شکل ۴: مقطع سازیتال هیپوفیز در حال تکامل موش صحرایی را در روز چهاردهم جنینی را نشان می‌دهد که در مجاورت لکتین SBA قرار گرفته است (بزرگنمایی  $X400$ ). \* بن‌بست راتکه، I: لوب میانی، p: لوب خلفی، فلش: برخی از سلول‌های لوب خلفی واکنش نشان داده با لکتین SBA

**واکنش به SBA**  
در بررسی برش‌هایی که در مجاورت با لکتین SBA قرار گرفند؛ واکنش تعدادی از سلول‌های لوب خلفی هیپوفیز به طور خفیف در روز چهاردهم قابل ملاحظه بود (شکل ۴)؛ سلول‌هایی که به نظر می‌رسد به عروق خونی تمایز می‌یابند. واکنش‌های اشاره شده با لکتین SBA تا روز هیجدهم با همان شدت ادامه یافت که از نظر آماری معنی‌دار نبود و پس از آن در روزهای نوزدهم و بیستم تکامل جنینی هیچ‌گونه واکنشی در سلول‌های نورو هیپوفیز مشاهده نگردید.

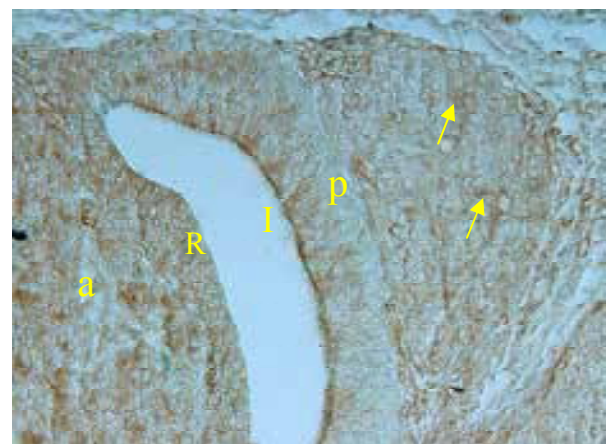
#### واکنش به WFA

واکنش لکتین WFA نیز با ماتریکس خارج سلولی موجود در لوب خلفی هیپوفیز در حال تکامل از روز سیزدهم شروع شد و سپس در روزهای بعدی بر شدت واکنش افزوده گردید. به طوری که در روز پانزدهم ماتریکس خارج سلولی در لوب خلفی هیپوفیز واکنش کاملاً قابل ملاحظه‌ای را نشان داد (شکل ۵). این افزایش در شدت رنگ از نظر آماری معنی‌دار بود ( $P<0.05$ ). سپس با ادامه روند تکامل در روز شانزدهم اگرچه این واکنش قابل مشاهده بود؛ ولی نسبت به روز پانزدهم شدت واکنش به طور معنی‌داری کاهش یافت (P<0.05) و از روز شانزدهم به بعد هیچ‌گونه واکنش ملاحظه نگردید.

شدت واکنش بین روزهای سیزدهم و چهاردهم افزایش آماری معنی‌داری را نشان نداد. واکنش سلول‌های مذکور با لکتین PNA در روزهای چهاردهم و پانزدهم تقریباً با همان شدت قبلی ادامه یافت و در روزهای هفدهم تا بیستم هیچ‌یک از سلول‌های تشکیل‌دهنده لوب خلفی با لکتین PNA واکنش قابل ملاحظه‌ای را نشان ندادند. در حالی که سلول‌های دیواره خلفی بن‌بست راتکه که در جهت لوب میانی تمایز می‌یابند؛ واکنش نسبتاً شدیدی را نشان داد که می‌توان از این مشاهده در تایید صحت رنگ‌آمیز نیز استفاده نمود (شکل ۳).



شکل ۲: مقطع سازیتال هیپوفیز در حال تکامل مربوط به جنین پانزده روزه موش صحرایی که در مجاورت با لکتین OFA قرار گرفته است (بزرگنمایی  $X200$ ). a: لوب قدامی هیپوفیز \* فضای داخل بن‌بست راتکه، P: لوب خلفی هیپوفیز در حال تکامل که برخی از سلول‌های آن (فلش) با لکتین OFA واکنش نشان داده‌اند. Sc: غضروف اسفنوئید



شکل ۳: مقطع سازیتال هیپوفیز در حال تکامل موش صحرایی در روز پانزدهم جنینی که در مجاورت لکتین PNA قرار گرفته است (بزرگنمایی  $X400$ ). a: لوب قدامی، I: لوب میانی، R: فضای بن‌بست راتکه، sc: غضروف اسفنوئید، فلش: برخی از سلول‌های PNA واکنش نشان داده با لکتین PNA

(P) و در روز هیجدهم تا بیست هیج گونه واکنشی مشاهده نشد.

#### لکتین‌های UEA1-B4 ، GSA1-B4 ، VVA ، LTA و

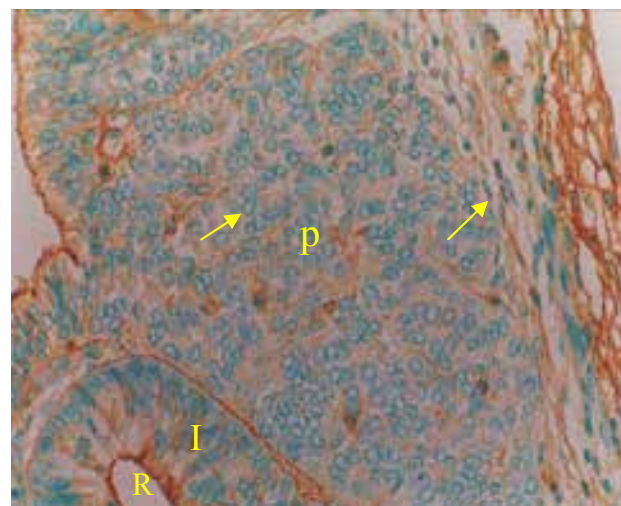
برش‌های میکروسکوپی که با لکتین‌های GSA1-B4 ، UEA1 ، LTA ، VVA و رنگ‌آمیزی شده بودند؛ نیز در روزهای مختلف جنینی مورد ارزیابی قرار گرفتند و واکنش قابل ملاحظه‌ای در هیج یک از مراحل تکاملی نوروهیپوفیز مشاهده نگردید.

#### بحث

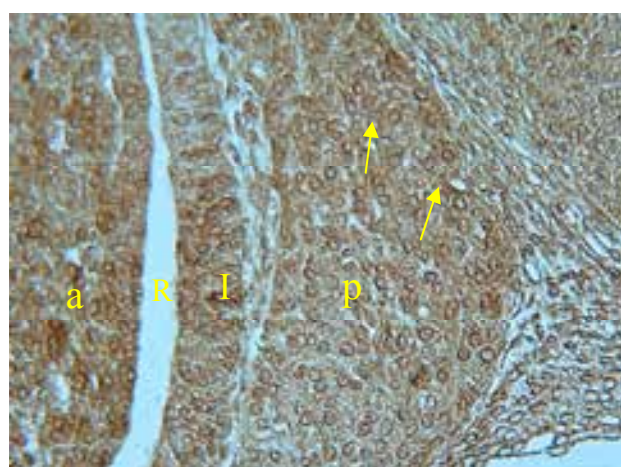
در این مطالعه لکتین OFA از روزهای دهم که مقارن با شروع تشکیل انفاندیولوم و بنبست راتکه است؛ با سلول‌های تشکیل دهنده اینفاندیولوم واکنش نشان داد. این لکتین می‌تواند به صورت اختصاصی با قندانتهایی  $\alpha$ -L-فوكوزی وارد عمل شود که با قند ماقبل خود با اتصال ۱-۶ باند شده باشد. این مطالعه نشان داد که لکتین مذکور با سلول‌های اکتسودرمی و نورال اکتسودرم واکنش نشان می‌دهد که می‌تواند تأییدی بر مطالعات گذشته باشد (۱۹).

همچنین در این مطالعه مشخص شد که واکنش لکتین PNA که با قندانتهایی D-Gal(β1-3)-D-GalNAc باند می‌شود؛ در سیر تکامل جنینی از الگوی زمانی معینی تعیت می‌نماید که دلیل بر ظهور قند مذکور در یک مرحله خاص تکاملی است. این پدیده می‌تواند به نوعی تفسیر شود که پس از انجام میان‌کنش‌های لازم، احتمالاً این مولکول قندی خاص توسط مولکول‌های دیگری از جمله اسیدسیالیک ماسک شده و یا این که توسط آنزیم‌های مترشحه از سلول تجزیه می‌گردد (۲۰ و ۲۱). بنابر این وقایعی از این دست می‌تواند دلیل بر نقش قندانتهایی D-Gal(β1-3)-D-GalNAc در روند تمایز سلولی طی روند تکامل نوروهیپوفیز قلمداد شود. همچنین واکنش لکتین MPA با ماتریکس خارج سلولی و نیز واکنش سلول‌های پارانشیم نوروهیپوفیز با لکتین‌های SBA و MPA با الگوی زمانی و مکانی مشخصی که به آن اشاره گردید؛ می‌تواند دلیلی بر نقش کلیدی قندهای انتهایی در تمایز و تکامل نوروهیپوفیز تلقی شود.

علت این که لکتین‌های GSA1-B4 ، VVA ، LTA و UEA1 در روزهای مختلف جنینی واکنشی را با بافت‌های



شکل ۵ : مقطع سازیتال هیپوفیز در حال تکامل موش صحرایی را در روز پانزدهم جنینی را نشان می‌دهد که در مجاورت لکتین WFA قرار گرفته است (بزرگنمایی X ۴۰۰). R: فضای بنبست راتکه، I: لوب میانی ، P: لوب خلفی ، فلاش: نمونه‌ای از سلول‌های لوب خلفی واکنش نشان داده با لکتین WFA



شکل ۶ : قطع سازیتال هیپوفیز در حال تکامل موش صحرایی در روز شانزدهم جنینی را نشان می‌دهد که در مجاورت لکتین MPA قرار گرفته است (بزرگنمایی X ۲۰۰). a: لوب قدامی ، I: لوب میانی ، p: لوب خلفی ، S: غضروف اسفنتوئید فلاش: سلول‌های لوب خلفی واکنش نشان داده با لکتین MPA

#### واکنش لکتین MPA

واکنش لکتین MPA نیز با سلول‌های لوب خلفی هیپوفیز از روز چهاردهم شروع شد و سپس در روزهای بعدی بر شدت واکنش افزوده گردید. به طوری که در روز پانزدهم سلول‌های لوب خلفی واکنش کاملاً قابل ملاحظه‌ای را نشان دادند. این افزایش در رنگ‌آمیزی از نظر آماری معنی‌دار بود (P<0.05). سپس با ادامه روند تمایز سلولی در روز شانزدهم شدت واکنش مشابه روز پانزدهم بود (شکل ۶). در روز هفدهم از شدت واکنش به طور معنی‌داری کاسته شد

را متوقف می‌نماید و نیز بار منفی شدیدی را به سطح سلول‌ها می‌رساند که خود واکنش‌های متفاوتی را در پی دارد (۲۰). همچنین مولکول‌های گلیکوکانثروگیت‌ها و از جمله قندهای انتهایی آنها، ممکن است در مرحله خاصی از تکامل از طریق پدیده آندوسیتوز وارد سلول شده و کاملاً در لیزوژوم‌های سلولی هضم گرددن (۱۹ و ۲۰). لذا شاید علت این که لکتین‌ها در سلول‌های خاص و در مراحل معینی از تکامل جینی واکنش نشان می‌دهد را بتوان بر این اساس تفسیر نمود. مقایسه الگوی اتصال لکتین به ترکیبات قندهای در بافت‌های طبیعی و غیرطبیعی نیز بر این واقعیت دلالت دارد که چنانچه اختلالی در روند گلیکوزیلاسیون در دوران جینی رخ دهد؛ ممکن است نفایص تکاملی متفاوتی گردد (۲۴). به عبارت دیگر اگر در روند طبیعی گلیکوزیلاسیون داخل سلولی، هریک از قندهای تاثیرگذار به هر علتی دچار اختلال شود؛ این احتمال وجود دارد که زنجیره‌های قندهای موردنظر به درستی ساخته نشوند و یا این که طبیعت شیمیایی قندهای انتهایی در این زنجیره‌ها دستخوش تغییر گردد و بر روند تکامل طبیعی جنین تاثیرگذارد و تکامل هیپوفیز نیز از این قاعده مستثنی نخواهد بود.

### نتیجه‌گیری

با توجه به نتایج حاصل از این مطالعه گمان می‌رود که بیان قندهای انتهایی L-Fucose ، α- D-GalNAc ، β-D-GalNAc با استفاده از یک نقش کلیدی و نوعی الگوی زمانی و مکانی مشخص در فرایندهای تکاملی از جمله تکامل نوروهیپوفیز تنظیم شده است.

### تشکر و قدردانی

این مقاله حاصل طرح تحقیقاتی مصوب (شماره ۸۱۳۰۳) معاونت پژوهشی دانشگاه علوم پزشکی مشهد بود. نویسنده‌گان از معاونت محترم پژوهشی به خاطر تامین اعتبار مالی تحقیق و نیز از سرکار خانم متعدد به خاطر زحمات بی‌دریغ تکنیکی تشکر و قدردانی می‌نمایند.

## References

- Dubois PM, Elamraoui A. Embryology of the pituitary gland. Trends Endocrinol Metab. 1995 Jan-Feb;6(1):1-7.
- Tobet SA, Bless EP, Schwarting GA. Developmental aspect of the gonadotropin-releasing hormone system. Mol Cell Endocrinol.

در حال تکامل نوروهیپوفیز نشان ندادند؛ به واسطه عدم وجود قندهایی مربوطه در زنجیره‌های قندهای گلیکوکانثروگیت‌ها در این مرحله از تکامل هیپوفیز باشد که با توجه به ساختار بافت‌شناسی نوروهیپوفیز که بیشتر از رشته‌های عصبی تشکیل شده که جسم سلولی آن در هیپوتalamوس قرار دارد و فقط در صد آن را سلول‌های گلیال موسوم به پیتوئیسیت تشکیل می‌دهد (۲۲). لذا با توجه به عدم تنوع سلولی در این بخش از غده هیپوفیز می‌توان عدم واکنش لکتین‌های مذکور را توجیه نمود.

براساس مطالعات انجام شده به نظر می‌رسد که منشاء سلولی نوروهیپوفیز بخش ونترال دیانسفالون باشد که تحت کنترل عوامل متعددی از جمله اثرات القایی بنسبت راتکه (مشتق از سقف دهان اولیه) صورت گرفته باشد (۲۰). در این رابطه مولکول‌های شیمیایی زیادی دخیل داشته شده‌اند که می‌توانند فرآیندهای تکاملی جینی را تحت تأثیر قرار دهند. از جمله این مولکول‌ها می‌توان به گلیکوکانثروگیت‌ها اشاره کرد که در سطح سلول‌ها و ماتریکس خارج سلول یافته می‌شوند و نیز بخش کربوهیدراتی آنها به خصوص قندهای زنجیره‌های قندهای در طی تمایز و تکامل سلولی دچار تغییر می‌شوند (۲۱). تحقیقات مشابه در این زمینه نشان داده است که چنین تغییراتی می‌توانند نقش بسیار حساس و تعیین کننده‌ای در پدیده‌های مختلف تکاملی مانند تمایزات سلولی، میان‌کنش‌های سلولی و مهاجرت سلولی ایفا نمایند (۲۲ و ۲۳).

تغییرات مولکولی سطح سلول‌ها، به خصوص گلیکوپروتئین‌ها که در ضمن تکامل سلول‌های جینی به وقوع می‌پیوندد؛ رابطه مستقیمی با پدیدار شدن وظایف بیولوژیکی این سلول‌ها دارد که به صورت‌های مختلف شکل می‌گیرد (۲۰). به عنوان مثال ممکن است قندهایی توسط مولکول دیگری مانند اسیدسیالیک پوشانده شود که به این ترتیب عمل قندهایی را که معمولاً به صورت یک گیرنده عمل می‌نماید

2001 Dec 20;185(1-2):173-84.

3. Treier M, Rosenfeld MG. The hypothalamic-pituitary axis: co-development of two organs. Curr Opin Cell Biol. 1996 Dec; 8(6):833-43.

4. Sheng HZ, Westphal H. Early steps in pituitary organogenesis. *Trends Genet.* 1999 Jun;15(6):236-40.
5. Fawcett DW. Bloom and Fawcett Textbook of Histology. 11<sup>th</sup>. Philadelphia: WB Saunders Company. 2002; pp:250-60.
6. Takor TT, Pearse AG. Neuroectodermal origin of avian hypothalamo-hypophyseal complex: the role of the ventral neural ridge. *J Embryol Exp Morphol.* 1975 Oct;34(2):311-25.
7. Treier M, O'Connell S, Gleiberman A, Price J, Szeto DP, Burgess R, et al. Hedgehog signaling is required for pituitary gland development. *Development.* 2001 Feb;128(3):377-86.
8. Takuma N, Sheng HZ, Furuta Y, Ward JM, Sharma K, Hogan BL, et al. Formation of Rathke's pouch requires dual induction from the diencephalon. *Development.* 1998 Dec;125(23):4835-40.
9. Zhao Y, Mailloux CM, Hermesz E, Palkovits M, Westphal H. A role of the LIM-homeobox gene Lhx2 in the regulation of pituitary development. *Dev Biol.* 2010 Jan; 337(2):313-23.
10. Qasba PK. Involvement of sugars in protein-protein interactions. *Carbohydrate Polymers.* 2000; 41(3): 293-309.
11. Bless EP, Pays L, Schwarting GA, Tobet SA. Expression of a cell surface glycoconjugate in gonadotropin releasing hormone (GnRH) neurons in mice. *Soc Neurosci Abstr.* 2000;26:1350.
12. Hassanzadeh Taheri MM, Nikravesh MR, Jalali M, Fazel AR, Ebrahimzadeh Bideskan AR. Distribution of specific glycoconjugate in early mouse embryonic notochord and paraxial Mesenchyme. *Iran Biomed J.* 2005 Jan; 9(1):21-6.
13. Sadler TW, Langman J. Langman's Medical Embryology. 8<sup>th</sup>. Philadelphia: Williams and Wilkins Company. 2000; pp: 535-40.
14. Hulley P, Schachner M, Lübbert H. L1 neural cell adhesion molecule is a survival factor for fetal dopaminergic neurons. *J Neurosci Res.* 1998 Jul;53(2):129-34.
15. Carlson BM. Human embryology and developmental biology. 2<sup>nd</sup>. London: Mosby Louis Company. 1994; pp:235-42.
16. Poirier F, Kimber S. Cell surface carbohydrates and lectins in early development. *Mol Hum Reprod.* 1997 Oct;3(10):907-18.
17. Bancroft J D, Stevens A. Theory and Practice of Histological Techniques. 5<sup>th</sup>. London: Churchill Livingston Company. 2007; pp: 20-100.
18. Kiernan JA. Histological and histochemical methods: theory and practice. 3<sup>rd</sup>. Oxford: Butter worth Company. 1990; pp: 232-6.
19. Ebrahimzadeh Bideskan AR, Hassanzadeh Taheri MM, Nikravesh MR, Fazel AR. [Lectin histochemical study of vasculogenesis during Rat pituitary morphogenesis]. *Iran J Basic Med Sci.* 2010;1(14): 35-41. [Article in Persian]
20. Schulte BA, Spicer SS. Light microscopic histochemical detection of terminal galactose and N-acetylgalactosamine residues in rodent complex carbohydrates using a galactose oxidase-Schiff sequence and peanut lectin-horseradish peroxidase conjugate. *J Histochem Cytochem.* 1983 Jan;31(1):19-24.
21. Nakamura K, Kimura S, Yamazaki M, Kawaguchi A, Inoue K, Sakai T. Immunohistochemical analyses of thyroid-specific enhancer-binding protein in the fetal and adult rat hypothalamus and pituitary glands. *Brain Res Dev Brain Res.* 2001 Oct; 130(2):159-66.
22. Carneiro Junqueira J, Carneiro Junqueira LC. Basic Histology. 11<sup>th</sup>. California: LMP. 2005; pp:436-45.
23. Wu AM, Lisowska E, Duk M, Yang Z. Lectins as tools in glycoconjugate research. *Glycoconj J.* 2009 Nov;26(8):899-913.
24. Miosge N, Götz W, Quondamatteo F, Herken R. Comparison of lectin binding patterns in malformed and normal human embryos and fetuses. *Teratology.* 1998 Feb;57(2):85-92.

**Original Paper****Distribution of Glycoconjugates terminal sugars during neurohypophysis development in Rat****Ebrahimzadeh Bideskan AR (PhD)<sup>\*1</sup>, Nikravesh MR (PhD)<sup>2</sup>, Fazel AR (PhD)<sup>2</sup>**

<sup>1</sup>Assistant Professor, Department of Anatomy, School of Medicine, Mashhad University of Medical Sciences, Mashhad, Iran. <sup>2</sup>Professor, Department of Anatomy, School of Medicine, Mashhad University of Medical Sciences, Mashhad, Iran.

**Abstract**

**Background and Objective:** The neurohypophysis originates from the floor of diencephalon. Its development controls by several cellular interactions that mediated by some molecules such as cell surface and extra cellular matrix Glycoconjugates terminal sugars. In this study we used lectin histochemical technique to evaluate distribution of the Glycoconjugates and their changes during development of neurohypophysis.

**Materials and Methods:** This experimental study carried on 40 female and 20 male adult Rats. After mating and appointment day zero of pregnancy, pregnant Rats were sacrificed from days 10-20 of gestation and their embryos were collected for histochemical study. The serial section of head specimens were fixed and incubated with different HRP-lectins from Orange fungus (OFA) *Vicia villosa* (VVA), *Glycine max* (SBA), *Wistaria floribunda* (WFA), peanut (PNA), *Griffonia simplicifolia* (GSA1-B4), *Lotus tetragonolobus* (LTA) and *Ulex Europeus* (UEA-1). OFA, LTA and UEA-1 lectins are specific for terminal sugars  $\alpha$ -L-Fucose and WFA, SBA, VVA and PNA are specific for D-GalNAc,  $\alpha$ ,  $\beta$ -D-GalNAc and GalNAc, D-Gal-( $\beta$ -1-3)- D-GalNAc of complex glycoconjugates respectively.

**Results:** Our findings demonstrated that the reaction of neurohypophysis cells with OFA initiated from gestational GD10 and increased to GD15 ( $P<0.05$ ) and then increased to GD17 ( $P<0.05$ ). A few cells of neurohypophysis reacted with PNA from GD13 to GD16 and decreased afterward ( $P<0.05$ ). Some cells of neurohypophysis reacted with SBA from GD14 to GD18 and decreased afterward ( $P<0.05$ ). Reacting of many cells of neurohypophysis with WFA started on GD13 and increased to GD15 ( $P<0.05$ ) and then decreased afterward ( $P<0.05$ ). Neurohypophysis cells showed no reaction with the UEA-1, LTA, VVA and GSA1-B4 lectins.

**Conclusion:** The expression of Glycoconjugates with terminal sugars  $\alpha$ -L-Fucose,  $\alpha$ ,  $\beta$ -D-GalNAc and D- Gal-( $\beta$ -1-3)- D-GalNAc have important role and special spatiotemporal situation in neurohypophysis development.

**Keywords:** Neurohypophysis, Development, Glycoconjugates, Lectin, Rat

**\* Corresponding Author:** Ebrahimzadeh Bideskan AR (PhD), E-mail: ebrahimzadehba@mums.ac.ir

Received 12 September 2010   Revised 16 February 2011   Accepted 22 February 2011